

УДК 539.124.17

## Расчет некоторых характеристик поля гамма-излучения, инициируемого быстрыми нейтронами в воздухе

ЖЕМЕРЕВ А. В., МЕДВЕДЕВ Ю. А., СТЕПАНОВ Б. М.

В работе рассматривается методика расчета интенсивности, поглощенной энергии  $\gamma$ -излучения и тока электронов, вызванного  $\gamma$ -излучением, инициируемым в воздухе точечным изотропным импульсным источником быстрых нейтронов ( $E \leq 14$  МэВ).

При расчете интенсивности  $\gamma$ -излучения, инициируемого быстрыми нейтронами в воздухе, используется метод Монте-Карло. При моделировании истории нейтрана захват нейтрана учитывается введением статистических весов. Источник  $\gamma$ -излучения, инициируемого нейтронами, определяется вероятностью вылета  $\gamma$ -кванта после столкновения нейтрана, равной отношению суммы сечений процессов, сопровождающихся испусканием  $\gamma$ -квантов, к полному сечению. Энергия инициируемого  $\gamma$ -кванта находится случайным образом по всем возможным энергиям  $\gamma$ -квантов. Приводятся алгоритмические выражения для пространственно-временной зависимости интенсивности  $\gamma$ -излучения, создаваемого  $\gamma$ -квантами, инициируемым при столкновении нейтронов. При достижении нейтраном энергии  $E \leq 0,45$  МэВ моделирование истории нейтрана обрывается и интенсивность  $\gamma$ -излучения рассчитывается на основе результатов, приведенных в статье А. В. Жемерева и др. («Атомная энергия», 1975, т. 38, вып. 3, с. 174).

Разработанная методика была применена для расчета интенсивности  $\gamma$ -излучения, инициируемого быстрыми нейтронами в высоконергетической области (энергия нейтронов  $> 4$  МэВ) для монохроматических источников нейтронов с начальной энергией 6; 8; 10; 12 и 14 МэВ. Программа расчета была написана на языке FORTRAN для ЭВМ БЭСМ-6. Приведены результаты расчета для источника нейтронов с начальной энергией 10 МэВ. Качественные характеристики интенсивности  $\gamma$ -излучения, инициируемого источниками нейтронов с другой начальной энергией, одинаковы. В пространственной зависимости интенсивности  $\gamma$ -излучения наблюдается максимум, причем расстояние увеличивается с течением времени, что объясняется повышением числа нейтронов на большом расстоянии от источника.

Приводятся алгоритмические выражения для расчета методом Монте-Карло поглощенной энергии  $\gamma$ -излучения и радиальной составляющей точкой электронов, вызванного  $\gamma$ -излучением, инициируемым быстрыми нейтронами в воздухе.

(№ 852/8377. Статья поступила в Редакцию 23/VI 1975 г., аннотация — 22/XII 1975 г. Полный текст 0,4 а.л., 1 рис., 1 табл., 6 библиогр. ссылок.)

УДК 539.12.08

## Электрохимическое поведение металлов в поле излучения ядерного реактора

ГОЧАЛИЕВ Г. З., БОРИСОВА С. И.

Исследовалось электрохимическое поведение платины, золота и серебра различной степени окисленности в растворе щелочи в поле излучения реактора ВВР-Ц. Опыты проводились в каналах реактора, находящихся в его активной зоне и вне ее, при мощностях 0,05—3,0 МВт.

Электрохимическое поведение этих металлов в поле излучения реактора определяется, главным образом, продуктами радиолиза раствора. Потенциал платины, близкий к водородному, при больших интенсивностях смешанного излучения  $1,2-2 \cdot 10^4$  рад/с мало чувствителен к нарушению стехиометрии, связанному с наличием растворенного кислорода воздуха в растворе или уходом газообразного водорода из системы.

Устойчивость водородного потенциала на платине объясняется помимо селективности электрода еще и большими скоростями образования продуктов радиолиза. Не исключена также возможность пересыщения раствора водородом при больших мощностях дозы.

Потенциал золота при действии излучения реактора сдвигается сначала в положительную сторону и устанавливается  $\sim 0,80$  В. Однако при длительном облучении наблюдается сдвиг потенциала в отрицательную сто-

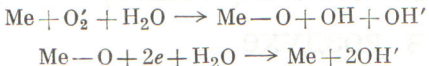
рону от стационарного значения, причем величина этого сдвига растет с увеличением мощности реактора.

В растворах щелочи стационарный потенциал серебра устанавливается  $\sim 0,90$  В. Платиновый и окисно-серебряный электроды при длительном облучении в том же растворе щелочи принимают такое же значение потенциала.

Неустойчивость потенциала окисно-серебряного электрода объясняется взаимодействием продуктов радиолиза (в частности, перекиси водорода, образующейся при облучении) с фазовым окислом серебра. Справедливость такого объяснения подтверждается контрольными опытами без облучения.

Наклон катодных поляризационных кривых на серебре в полулогарифмическом масштабе  $\sim 10$  мВ. Для объяснения столь низкого значения наклона предложен механизм восстановления продуктов радиолиза на серебре, где электрохимической стадией является восстановление поверхностных окислов, образующихся при химическом взаимодействии продуктов радиолиза с металлом. Причем в результате химической стадии с окислением поверхности происходит одновременно генерация продуктов, идентичных нестабильным продуктам

радиолиза. В щелочных растворах эти процессы изображаются следующей схемой:



Приведена соответствующая схема для кислых растворов. (№ 849/8460. Статья поступила в Редакцию 6/VIII 1975 г. Полный текст 0,65 а. л., 5 рис., 25 библиогр. ссылки).

ДК 546.831.271:620.193.2

## Получение и изучение коррозионной стойкости диборида циркония и его твердых растворов с диборидом титана

СВИСТУНОВ В. В., БЕКЕТОВ А. Р., ВЛАСОВ В. Г., ОБАБКОВ Н. В.

Практическое применение борида циркония представляет особый интерес вследствие его высокой химической стойкости. Для улучшения некоторых физико-химических свойств  $\text{ZrB}_2$  в него вводили добавки  $\text{TiB}_2$  с образованием твердых растворов.

Для исследования использовались образцы, полученные комбинированным способом, сочетающие высокотемпературный самораспространяющийся синтез и активированное спекание. Эти образцы с остаточной пористостью 2—4 об. % в виде пластин размером 2 × 6 × 6 мм применялись для окисления в потоке чистого кислорода  $3 \cdot 10^{-4}$  л/мин.

При окислении образцов из  $\text{ZrB}_2$  замечено, что в интервале температуры 300—700 °C скорость окисления несколько возрастает, оставаясь при этом незначительной, затем уменьшается (800 °C) и резко увеличивается при температуре выше 800 °C. Все кривые описываются параллельным законом окисления.

Зависимость скорости окисления от давления кислорода имеет сложный характер. В интервале малых давлений до 50 мм рт. ст. скорость окисления увеличивается с возрастанием давления, что связано с высокой летучестью окислов бора. Дальнейшее увеличение давления до 75 мм рт. ст. подавляет летучесть окислов; количество  $\text{B}_2\text{O}_3$  в защитной пленке возрастает и скорость окисления падает, затем снова увеличивается.

Кинетика окисления имеет сложный характер и во многом зависит от содержания в защитном слое окислов

бора. При окислении смешанных боридов окисный слой обогащается титаном, что приводит к образованию во всех образцах  $\text{ZrTiO}_4$ , который резко ухудшает защитные свойства окалины [1].

Какующаяся энергия активации окисления  $\text{ZrB}_2$  равна 20 ккал/моль. Малые добавки  $\text{TiB}_2$  (около 8 мол. %) снижают ее до 14 ккал/моль, но по мере увеличения содержания  $\text{TiB}_2$  в твердом растворе энергия активации увеличивается и при 30 мол. %  $\text{TiB}_2$  составляет 30 ккал/моль.

Параллельный закон окисления, опыты с инертной меткой, вид окисленных образцов [2] позволяют предположить, что окисление  $\text{ZrB}_2$  в твердых растворах происходит в диффузионном режиме с преимущественной диффузией кислорода к границе реакции борид — окисная пленка.

(№ 850/8465. Поступила в Редакцию 12 VIII 1975 г. Полный текст 0,5 а. л., 3 рис., 2 табл., 19 библиогр. ссылок.)

### СПИСОК ЛИТЕРАТУРЫ

- Францевич И. Н., Войтович Р. Ф., Лавренко В. А. Высокотемпературное окисление металлов и сплавов. Киев, Гостехиздат УССР, 1963.
- Бенар Ж. Окисление металлов. Пер. с франц. Под ред. Викторовича Г. С. М., «Металлургия», 1968.

При работе над настоящим исследованием авторы выражают благодарность профессору А. А. Бенару за помощь в проведении экспериментов и за предоставленные материалы.

Лаборатория изучения радиационных процессов и материалов УГНТУ им. И. П. Бородина Министерства народного хозяйства УССР, в которой проводились исследования, расположена в г. Днепропетровске. Авторы выражают глубокую благодарность всем сотрудникам лаборатории за помощь в выполнении работы.

Рассчитано энергетическое распределение медленных нейтронов в воде при температуре 295 и 423 K с поглотителями  $^{10}\text{B}$ ,  $^{113}\text{Cd}$  и  $^{149}\text{Sm}$ . Исследовано влияние различных областей обобщенного частотного распределения для воды на спектр медленных нейтронов. Проведено сравнение с известными моделями и экспериментальными данными. Показано, что модель, используемая

УДК 621.039.512.45

## Термализация нейtronов в конденсированных средах

БАЙКУЛОВ В. А.

Вариационный метод расчета энергетического распределения медленных нейтронов в бесконечных однородных средах с равномерно распределенными источниками быстрых нейтронов, описанный и проверенный в работе [1] на газовой модели замедлителя, распространен на конденсированные среды.

На поведение сечения поглощения нейтронов в области термализации не наложено никаких ограничений. Для дифференциального сечения рассеяния использован некогерентное гауссово приближение.

Изложен способ расчета дисперсии, основанный на использовании экспериментальных значений обобщен-